

武汉理工大学

数学建模暑期培训论文

第 1 题

基于 xxxxxxxx 模型

第 10 组

姓名

刘子川

程宇

祁成

方向

编程

建模

写作

2020 年 8 月 20 日

摘要

控制高压油管的压力变化对减小燃油量偏差,提高发动机工作效率具有重要意义。本文建立了基于质量守恒定理的微分方程稳压模型,采用二分法、试探法以及自适应权重的蝙蝠算法对模型进行求解。

针对问题一,建立基于质量守恒定律的燃油流动模型

针对问题二,建立基于质量守恒定律的泵-管-嘴系统动态稳压模型,将燃油进入和喷出的过程动态化处理。考虑柱塞和针阀升程的动态变动,建立喷油嘴流量方程和质量守恒方程。为提高角速度求解精度,以凸轮转动角度为固定步长,转动时间变动步长,采用试探法粗略搜索与二分法精细搜索的方法求解,求得凸轮最优转动角速度 **0.0283rad/ms (转速 270.382 转/分钟)**,并得到该角速度下高压油管的密度、压力周期性变化图。对求解结果进行误差分析与灵敏度分析,考察柱塞腔残余容积变动对高压油管压力稳态的影响。

针对问题三,对于增加一个喷油嘴的情况,改变质量守恒方程并沿用问题二的模型调整供、喷油策略,得到最优凸轮转动角速度为 **0.0522rad/ms (498.726 转/分钟)**;对于既增加喷油嘴又增加减压阀的情况,建立基于自适应权重的蝙蝠算法的多变量优化模型,以凸轮转动角速度、减压阀开启时长和关闭时长为参数,平均绝对偏差 MAD 为目标,在泵-管-嘴系统动态稳压模型的基础上进行求解,得到最优参数:角速度 **0.0648 rad/ms (619.109 转/分钟)**、减压阀的开启时长 **2.4ms** 和减压阀的关闭时长 **97.6ms**。

本文的优点为:1. 采用试探法粗略搜索与二分法精细搜索结合的方法,降低了问题的求解难度。2. 以凸轮转动角度为固定步长,对不同角速度按照不同精度的时间步长求解,大大提高了求解的精确度。3. 针对智能算法求解精度方面,采用改进的蝙蝠算法,使速度权重系数自适应调整,兼顾局部搜索与全局搜索能力。

关键词: 微分方程 微分方程 微分方程 微分方程

目录

1 问题重述	1
1.1 问题背景	1
1.2 问题概述	1
2 模型假设	1
3 符号说明	1
4 问题一模型的建立与求解	2
4.1 问题描述与分析	2
4.2 模型的建立	3
4.3 模型的求解	5
4.3.1 免疫差分进化算法	5
4.4 实验结果及分析	7
5 问题二模型的建立与求解	7
5.1 问题描述与分析	7
5.2 模型的建立	8
5.3 模型的求解	8
5.4 实验结果及分析	8
6 问题三模型的建立与求解	9
6.1 结果分析	10
7 灵敏度分析	10
8 模型的评价	10
8.1 模型的优点	10
8.2 模型的缺点	10
8.3 模型改进	10
附录 A 数据可视化的实现	12

1 问题重述

1.1 问题背景

新型冠状病毒肺炎（Corona Virus Disease 2019, COVID-19），简称“新冠肺炎”，世界卫生组织命名为“COVID-19”，是指 2019 新型冠状病毒感染导致的肺炎。2020 年 3 月 11 日，世界卫生组织总干事谭德塞宣布，世卫组织认为当前新冠肺炎疫情可被称为全球大流行（pandemic）。目前，COVID-19 疫情仍在世界各地蔓延，已超过 1630 万人感染，65 万余人死亡，给世界各国的经济发展和人民生活带来了极大影响，甚至从一定程度上改变了人类的工作生活方式。

1.2 问题概述

围绕相关附件和条件要求，定量地研究传染病的传播规律，利用所给（不限于）资料和数据，作出预测并给出控制传染病蔓延的对策建议，具体要求如下：

问题一：

问题二：

问题三：

2 模型假设

(1)

(2)

(3)

(4)

3 符号说明

符号	说明
P_n	20 个站点
P_n	20 个站点
P_n	20 个站点

注：表中未说明的符号以首次出现处为准

4 问题一模型的建立与求解

4.1 问题描述与分析

问题一要求建立确诊和死亡病例数的预测模型，并对具体防控措施进行评价，分析其对疫情传播造成的影响。

此次疫情中，不同群体相互转化方式相近。目前对传染病的模型建立方法主要有面向网络的方法和基于人群的方法。面向网络的方法强调个体的异质性、个体间的相互作用和网络结构 [13]。利用特定网络模型的传播动力学来调查新出现的传染病的传播 [16]。近期研究发现，社交网络的拓扑特征对传染病的传播动力学和临界阈值有很大的影响，从而支持了面向网络的模型无法进行的细微分析 [17]。相反，基于人群的方法通过微分方程比较他们的各种动力学机制，确定流行病学阶段之间的转换。根据被移除的个体是否会再次变得易感，疾病可以被模拟成 SLIR 或 SLIR 周期。

经典 SEIR 模型将人群分为易感者 (*susceptible, S*)、感染者 (*infected, I*)、潜伏者 (*exposed, E*) 和康复人群 (*recovered, R*)。模型假设所有易感者都有概率转变为感染者；潜伏者是具有时滞效应的感染者，在经过无症状的潜伏期后转变为感染者；部分感染者可被治愈，成为痊愈者。考虑政府干预，为便于进一步分析政府宏观措施带来的防疫效应，在经典 SEIR 模型的基础上增加人群种类：隔离易感者 (*quarantined susceptible, S_q*)，隔离潜伏者 (*quarantined exposed, E_q*) 和住院患者 (*hospitalized, H*)。隔离易感者解除隔离后重新转变为易感者，感染者和潜伏者均有不同程度的能力感染易感者，使易感者成为潜伏者或感染者。人群的转化关系如图所示：

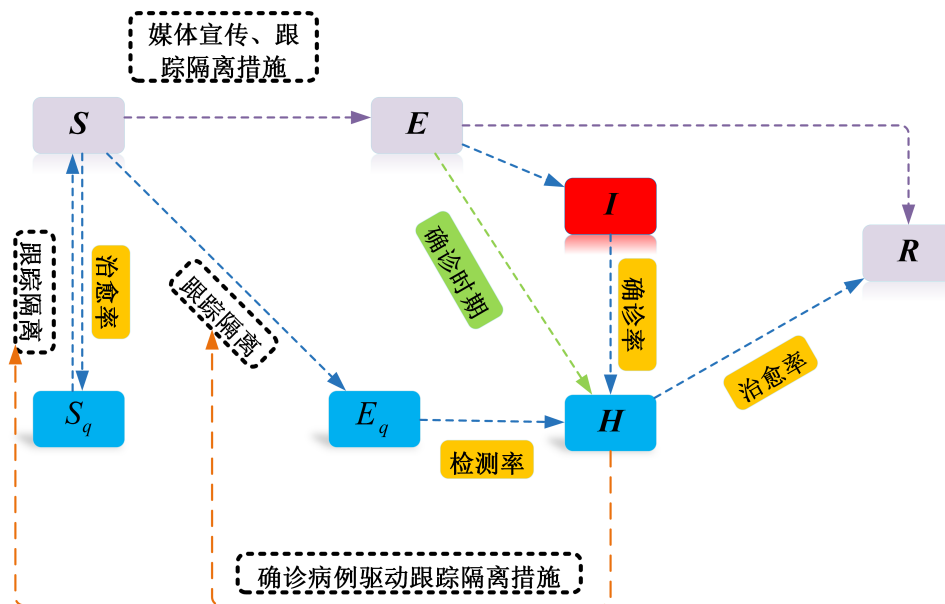


图 1 问题一人群转化关系图

4.2 模型的建立

本节介绍改进的 $SEIR$ 模型. 研究对象是感染者、潜伏者、易感者、痊愈者等, 我们使用如下记号来代表每个人群的人数:

- $S(t)$: t 时刻易感者的累计总数;
- $E(t)$: t 时刻潜伏者的累计总数;
- $I(t)$: t 时刻感染者的累计总数;
- $S_q(t)$: t 时刻隔离易感者的累计总数;
- $E_q(t)$: t 时刻隔离潜伏者的累计总数;
- $H(t)$: t 时刻住院患者的累计总数;
- $R(t)$: t 时刻痊愈者的累计总数。

该基于人群模型有以下前提:

1. 潜伏者在出现明显症状前会经历 7 天的潜伏期, 一旦出现症状, 潜伏者将寻求治疗, 从而转为确诊的感染者;
2. 由于政府干预控制措施, 部分感染者在潜伏期内尚未出现症状已被隔离, 成为隔离潜伏者, 在被隔离了平均 14 天后出现症状, 成为确诊的感染者。
3. 模型求解过程中不考虑迁入迁出的影响, 满足总人群数守恒, 即

$$\frac{dS}{dt} + \frac{dE}{dt} + \frac{dI}{dt} + \frac{dH}{dt} + \frac{dE_q}{dt} + \frac{dS_q}{dt} = 0. \quad (1)$$

可建立模型如下:

定义接触率 α 、传染率 β 和有效接触系数 ρ 。分析可知, 有效接触系数 $\rho = S/(S + E + I + H)$ 是易感人群在随机均匀混合人群中的占比。记单个感染者个体 I_j 在 Δt 时间内接触和传染均匀混合个体分别为事件 A 和事件 B 。单个感染者个体 I_j 在 Δt 时间内接触的均匀混合个体数记为 $\alpha = P(A)$, 即有效接触率。将传染率定义为单个感染者个体在接触易感者的条件下传染给该易感人群的条件概率, 记为 $\beta = P(B|A)$ 。由条件概率公式, $\alpha \cdot \beta = P(A) \cdot P(B|A) = P(AB)$ 是单个感染者个体接触并感染易感者的概率, 称为有效感染概率。

分析可知易感者 S 有三种转化途径: 向隔离易感者 S_q 、隔离潜伏者 E_q 和潜伏者 E 的转化速率 (单位时间 Δt 内, 转化数量 Δn 与同类群体的个数 n 的比值) 分别为 $\rho(1-\beta)q$, $\rho\beta q$ 和 $\rho\beta(1-q)$ 。此外, 确认隔离期 t_d 无症状后, 隔离易感者 S_q 也可向易感者 S 以 λS_q 的速率转化。由以上分析可建立易感者 S 转化方程:

$$\frac{dS}{dt} = -\alpha\rho[\beta + q(1-\beta)]S(I + \theta E) + \lambda S_q, \quad (2)$$

其中, θ 是潜伏者相对于感染者传播能力的比值。 $\lambda = 1/14$ 是隔离解除速率, 数值取隔

离期的倒数。

潜伏者可以向感染者转化，易感者可向潜伏者转化，可列出潜伏者 S 的转化方程：

$$\frac{dE}{dt} = \alpha\rho\beta(1-q)(I + \theta E) - \sigma E, \quad (3)$$

其中， σ 为潜伏者向感染者的转化速率。

潜伏者可以转化为感染者，感染者的流向有死亡、被治愈和被隔离。定义病死率 d 、感染者恢复率 ς_I 和隔离速率 σ_I ，对感染者有：

$$\frac{dI}{dt} = \sigma E - (\sigma_I + d + \varsigma_I)I. \quad (4)$$

对于被隔离的群体，隔离易感者 S_q 与易感者相互转化；隔离潜伏者 E_q 来源于易感者，可转化为隔离感染者。定义 δ_q 是隔离潜伏者向隔离感染者的转化速率，则有

$$\frac{dS_q}{dt} = \alpha\rho q(1-\beta)(I + \theta E) - \lambda S_q, \quad (5)$$

$$\frac{dE_q}{dt} = \rho\alpha\beta q(I + \theta E) - \delta_q E_q. \quad (6)$$

对住院患者，感染者和隔离的潜伏者向住院患者的转化速率分别是 δ_I 和 δ_q ，住院患者流向为死亡和康复，对应系数为死亡率 d 和住院患者恢复率 ς_H 。

$$\frac{dH}{dt} = \delta_I I + \delta_q E_q - (d + \varsigma_H)H. \quad (7)$$

对死亡病例，有

$$\frac{dD}{dt} = D + d(H + I). \quad (8)$$

最后，痊愈者来源有感染者和住院患者，故对痊愈者有

$$\frac{dR}{dt} = \varsigma_I I + \varsigma_H H. \quad (9)$$

模型的总表达为：

$$\left\{ \begin{array}{l} \frac{dS}{dt} = -\alpha\rho[\beta + q(1 - \beta)]S(I + \theta E) + \lambda S_q, \\ \frac{dE}{dt} = \alpha\rho\beta(1 - q)(I + \theta E) - \sigma E, \\ \frac{dI}{dt} = \sigma E - (\sigma_I + d + \varsigma_I)I, \\ \frac{dS_q}{dt} = \alpha\rho q(1 - \beta)(I + \theta E) - \lambda S_q, \\ \frac{dE_q}{dt} = \rho\alpha\beta q(I + \theta E) - \delta_q E_q, \\ \frac{dH}{dt} = \delta_I I + \delta_q E_q - (d + \varsigma_H)H, \\ \frac{dR}{dt} = \varsigma_I I + \varsigma_H H, \\ \frac{dD}{dt} = D + d(H + I). \end{array} \right. \quad (10)$$

4.3 模型的求解

4.3.1 免疫差分进化算法

本文设计免疫差分进化算法估计微分方程组中的未知参数，定义决策向量为

$$X = [x_1, x_2, x_3, x_4], \quad (11)$$

其中 x_1 、 x_2 、 x_3 和 x_4 分别表示每个患者的日平均接触人数、传染概率、初始潜伏者与患者人数比例以及潜伏者相对于感染者传播能力的比值。将目标函数定义为损失函数如下

$$\min Loss(X) = \sum_{t=1}^T (|\frac{D_r(t) - D(t)}{D_r(t)}| + |\frac{R_r(t) - R(t)}{R_r(t)}| + |\frac{H_r(t) - H(t)}{H_r(t)}|) \quad (12)$$

其中 T 表示选取数据的终止节点，即表示选取用于估计参数的数据来自疫情发生的第 1 天到第 T 天。 $D_r(t)$ 、 $R_r(t)$ 与 $H_r(t)$ 分别表示疫情发生后第 t 天的死亡人数、治愈人数和医院患者人数的真实数据； $D(t)$ 、 $R(t)$ 与 $H(t)$ 分别表示其对应的由 SEIR 模型。损失函数 $Loss$ 表示预测结果与实际结果间的距离，即 $Loss$ 值越小，预测曲线就与真实曲线越接近。

种群初始化 在解空间中随机产 p 个初始个体 $X_i(0) = [x_1, x_2, x_3, x_4], (i = 1, 2, 3, \dots, p)$. 其中第 i 个个体的第 j 维取值方式如下

$$x_{i,j}(0) = x_{j,min} + rand(0, 1)(x_{j,max} - x_{j,min}), \quad (13)$$

$$i = 1, 2, 3, \dots, p, j = 1, 2, 3, 4 \quad (14)$$

其中 p 表示种群规模, $x_{j,max}$ 和 $x_{j,min}$ 分别表示决策变量 X 第 j 维的取值范围上界与下界。

变异 在第 g 次迭代中, 生成变异个体 $H_i(g)$, 从种群中随机选取三个个体 $X_{p1}(g), X_{p2}(g)$ 和 $X_{p3}(g)$, 且 $p_1 \neq p_2 \neq p_3 \neq i$, 生成的变异向量为

$$H_i(g) = X_{p1}(g) + F(g) * (X_{p2}(g) - X_{p3}(g)) \quad (15)$$

$F(g) \in (0, 1)$ 是每一代中的放缩因子, 其服从柯西分部如下

$$F(g) = cauchyrnd(uF, 0.1) \quad (16)$$

其中 uF 是 F 的期望值, 本文取值为 $uF = 0.5$ 。

交叉 对第 g 代种群中第 i 个体进行交叉操作, 生成交叉个体 $V_i(g)$, 具体表达式如下:

$$v_{i,j} = \begin{cases} h_{i,j}(g), rand(0, 1) \leq cr_i \\ x_{i,j}(g), rand(0, 1) > cr_i \end{cases} \quad (17)$$

其中 $cr_i \in [0.1, 0.6]$ 是个体 i 的交叉概率, 参数 cr_i 将进行自适应调整, 具体表达式如下:

$$cr_i = \begin{cases} cr_l + (cr_u - cr_l) \frac{Loss_i - Loss_{min}}{Loss_{max} - Loss_{min}}, Loss_i > \overline{Loss} \\ cr_l, Loss_i \leq \overline{Loss} \end{cases} \quad (18)$$

免疫选择 混合第 g 代的交叉个体 $V(g)$ 与原始个体 $X(g)$, 得到待选组 $\{X'(g+1)\}$ 如下

$$X'_i(g+1) = \begin{cases} X_i(g), i \leq p \\ V_{i-p}(g), i > p. \end{cases}$$

个体 $X'_a(g+1)$ 和 $X'_b(g+1)$ 的亲合度 $S_{a,b}$ 可表示为

$$S_{a,b} = \sqrt{\sum_{i=1}^4 \left(\frac{x_{i,a} - x_{i,b}}{x_{i,max} - x_{i,min}} \right)^2} \quad (19)$$

$S_{a,b}$ 为 $X'_a(g+1)$ 和 $X'_b(g+1)$ 的归一化距离，表示个体 $X'_a(g+1)$ 和 $X'_b(g+1)$ 的相似性。定义个体 $X'_i(g+1)$ 的抗体浓度为 C_i ，即

$$C_i = \frac{1}{2p} \sum_{j=1}^{2p} N_{i,j}, \quad (20)$$

$$N_{i,j} = \begin{cases} 1, & S_{i,j} \geq \mu \\ 0, & S_{i,j} < \mu \end{cases} \quad (21)$$

$\mu (\mu \in [0, 1])$ 为相似度阈值，即当个体 i 和 j 的亲合度 $S_{i,j} \geq \mu$ 时认为个体 i 和 j 为相似个体。 C_i 即为 $\{X'(g+1)\}$ 中 $X'_i(g+1)$ 的相似个体所占比例， C_i 越大即表示 $X'_i(g+1)$ 所在区域的个体密度越大。我们优先将损失函数 $Loss$ 值最优的前 σ 个解放入下一代个体 $\{X(g+1)\}$ 中以防止最优解丢失。再计算剩余个体的复合适应度函数，即个体 i 的复合适应度函数可表示为

$$\min F(X'_i(g+1)) = \frac{Loss(X'_i(g+1)) - Loss_{min}}{Loss_{max} - Loss_{min}} + C_i \quad (22)$$

即选取复合适应度函数 F 较优的剩余 $p - \sigma$ 个个体放入下一代个体 $\{X(g+1)\}$ 中。重复迭代上述算法 G 次后终止算法并输出最优参数集 X_{best} 。

4.4 实验结果及分析

5 问题二模型的建立与求解

5.1 问题描述与分析

问题二要求

其思维流程图如图 2 所示：

武汉理工大学

图 2 问题二思维流程图

5.2 模型的建立

5.3 模型的求解

5.4 实验结果及分析

结果如下表??所示:

表 1 XXXXXXXXXXXXXXXXXXXX

XXXXXXX	XXXXXXX
XXXXXXX	909.80
XXXXXXX	852.60

由表1可知

其各个小车的运输细节图下图所示:

武汉理工大学 武汉理工大学



图 3 XXXXXXXXXXXXXXXXXXXXXXXXXXXX

6 问题三模型的建立与求解

信:

尊敬的 xxx 地区政府机构 (卫生部门):

寒暄几句

part one 第一问预测结果: 采取居家令的措施和时滞效应分析。。。分析居家令 (stay-at-home policy) 和就地避难令 (shelter-in-place policy) 的防疫效应前, 需要根据我们模型的种类, 从量化层面理解防疫的最终目的。我们建立的改进的 SEIR(名字可以取好听点。。。) 动力学模型满足总人群数守恒的假设, 因此防疫抗疫的本质是降低潜伏者和感染者的占比, 提高易感者的占比, 在经过一个较长的周期后最终实现感染者清零。

控制其他参数不变, 对弱势群体易感者建立的改进的 SEIR 模型中的微分方程中, 居家令的实施限制了易感者的人口流动, 降低了易感人群在随机均匀混合人群中的占比, 即有效降低了方程中的有效接触系数 ρ 。这个效应在潜伏者、隔离潜伏者和隔离易感者的控制方程中得到体现, 在其他参数不变的情况下有效减缓了这三者的增速。根据模型, 因为感染者增速与易感者转化的速率成正比, 实施居家令的代价是感染者增速会随着易感者增多而加快, 但由于初始状态下易感者人群数目主要体现下降的趋势, 因此, 实施居家令可以有效阻止疫情扩散, 降低易感人群患病风险。

此外, 就地避难令的提出对防疫抗疫也具有深刻意义。假设考虑甲乙两地的混合均匀迁入迁出, 甲地向乙地单项流动, 其中甲是高风险区域, 乙是低风险区域, 两地区的总人群数目不变。对甲乙两地的总人群, 根据改进的 SEIR 模型, 由于人口流动能力增强, 接触率 α 增大, 。。。。

提出建议

对模型进行综合分析后，我们提出以下建议：

第一，

第二，

第三，

第一，未来我国避免不了债务率的攀升，但可以在债务内部进行结构调整，优化杠杆结构。经济低迷通过加杠杆可以有效提振经济，我国政府负债率相对较低，政府部门需要加杠杆，加大政府部门负债率，拉动经济增长，而对于非政府部门，应继续控制杠杆攀升速度。政府发行债务筹到的资金应用于大规模的基建建设，基建投资带动相关产业就业，而且基建的投资未来还可以为国家带来收入改善国家资产负债表。第二，在供给方面：首先，推进复工复产进程的同时，要继续加大企业减税力度，并且向受疫情冲击较大的企业直接提供大规模免息贷款或无偿救助资金，尤其是进出口企业。其次，要避免社会供给减少，还需要寻求新的经济增长点，因此我国需要加大数字经济投资力度，完善数字经济基础设施，提供数字经济就业岗位。最后，要加大我国国有企业改革进程，以完善现代企业制度，提高供给和供给质量。第三，在土地利用方面：我国还有大量荒废的农村土地，可以利用荒废土地加快推进农村城镇化建设和推进现代化新农业种植模式，提高农村现代化基础设施建设。第四，在民生方面：要极度关注失业人口和贫困人口，短期应对极度贫困人口直接给予资金补助，以保障基本生活需求。长期看可以对贫困人口进行相关职业培训，利用农村城镇化建设和基建建设带动失业人口和贫困人口就业。第五，疫情的影响将会持续很长时间，从长期角度看，国家应加快数字货币的研发力度，使未来国家能更好地控制资金流向，提高资金使用效率。

part two 炒股的分析提出股市建议

最后希望 xxx 地区能早日走出病毒肆虐的阴影。。。

6.1 结果分析

7 灵敏度分析

8 模型的评价

8.1 模型的优点

(1)

(2)

8.2 模型的缺点

8.3 模型改进

参考文献

- [1] 张斯嘉, 郭建胜, 钟夫, 等. 基于蝙蝠算法的多目标战备物资调运决策优化 [J]. 火力与指挥控制, 2016, 41(1): 58-61.

附录 A 数据可视化的实现

第一问画图-python 源代码

第二问画图-python 源代码
